

粘土の1軸クリープ強度について

京大防災研究所 正員 栗原 則夫

1. はじめに

正規粘土の3軸非排水条件におけるクリープ破壊試験の結果から、履歴のない粘土のクリープ破壊現象についてのいくつかの定性的な考察は、既に報告されてゐる⁽¹⁾⁽²⁾が、ここではこれに引き続いて、1軸クリープ試験によつて、予めヒズミ履歴やクリープ履歴を受けた粘土のクリープ破壊現象を調べた。

2. 試料および試験方法

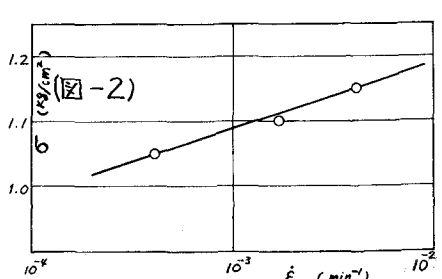
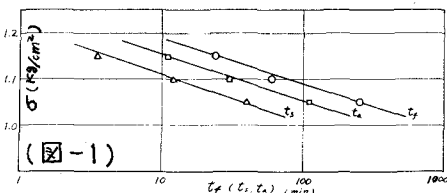
用いた試料は、PL = 32.5%, LL = 69.2%, $C_{30} = 70\%$, $G_s = 2.64$ の大阪粘土である。粘土は、LL 以上の高含水比で練返し、直徑 25 cm の大型圧密容器中で圧密圧力 3.986 MPa で圧密し、膨満させた後、タッキングフオイルとパラフィンで包装し、半月以上恒温室中で養生した後、試験に供した。試験は、1 軸圧縮クリープ試験で、クリープ中は軸方向ヒズミの増加とともに断面補正を行は、2 載荷荷重を増やし、クリープ応力を一定に保つた。供試体は、直徑 3.58 cm、高さ 8 cm の円柱形で、載荷キャップとペデスタルは、直徑 4 cm のアクリル樹脂製のものを用いた。試験中は、供試体にゴムスリーブを被覆した。供試体への水の出入りないようにした。

試験の種類は表-1 に示す通り⁽²⁾、No.4～9は、クリープ破壊試験前に、適当なヒズミ(2.5, 5, 8, 10%)までヒズミ制御式に行き、2 載荷し除荷した後、約 1 日放置するところによると、2 ヒズミ履歴を与えたものであり、No.10～12は、 $\sigma = 1.05 \text{ kN/cm}^2$ で定常クリープ開始前後および加速クリープ初期までクリープさせた後除荷して、約 1 日回復させることにより、2 クリープ履歴を与えたものである。なお、ヒズミ制御式圧縮試験(ヒズミ速度 = 1%/min)による強度は、約 1.2 kN/cm² であった。

3. 試験結果および考察

3-1 履歴のない粘土： 履歴のない正規粘土については、 $\log t_f = a\sigma + b$ (1), $\log \dot{\epsilon}_s = a'\sigma + b'$ (2), $\dot{\epsilon}_s \cdot t_f = c$ (3) [$c = 1$, $t_f =$ 載荷から破壊までの時間(min); $\dot{\epsilon}_s =$ 定常クリープ時のヒズミ速度(min^{-1}); $\sigma =$ クリープ応力(kN/cm^2); $a, a', b, b', c =$ 定数] が成立する⁽¹⁾⁽²⁾。なお、 t_f の代りに t_s, t_a (これを載荷から定常クリープ、加速クリープ開始までの時間) を代入しても (1), (2), (3) の関係は成立する(この場合、 a, a' は変らず、 b, b', c が変化する)。ここでの試験結果は、図-1, 2, 3 に示す通りである。すなはち、(1), (2), (3) を満足することができる。

	σ (kN/cm^2)	履歴		σ (kN/cm^2)	履歴
No.1	1.15	なし	No.7	1.05	ヒズミ制御 2%
No.2	1.10	"	No.8	"	5%
No.3	1.05	"	No.9	"	8%
No.4	1.10	ヒズミ制御 2%	No.10	"	定常クリープ開始前後までクリープ
No.5	"	5%	No.11	"	"
No.6	"	10%	No.12	"	加速クリープ初期までクリープ



わかる。図-3には、3軸クリーケー試験の結果をプロットしてあり、(1)～(3)を示している。

図-1, 2, 3から、この場合、(1), (2), (3)は

$$\log t_f = -10.5 + 12.9 \quad (1)', \quad \log \dot{\epsilon}_s = 10.0 - 13.9 \quad (2)' \\ \dot{\epsilon}_s \cdot t_f = 0.1 \quad (3)' \quad \text{となる}.$$

3-2 履歴のある粘土： クリーケー試験前に粘土が受けた履歴の度合を定量的に評価するため、1つの指標としてここではクリーケー試験直前の残留ヒズミ E_R を用いる。

図-4に、 E_R と定常クリーケー応力 σ および加速クリーケーの開始点のヒズミ $\dot{\epsilon}_s$, E_A の関係を示す。 $\dot{\epsilon}_s$, E_A は E_R が増加すると直線的に増加する一方で、(1)～(3)からの直線は互いに平行となる。ここで、履歴の有無にかかわらず $E_A - E_s$ が一定であることがわかる。ところが、履歴のない粘土では、 $\sigma \sim t_f$ か $\sigma \sim \dot{\epsilon}_s$ の関係は、図-1, 2の直線関係からはずれること(図-4ではプロット12が)が、 $\dot{\epsilon}_s \sim t_f$ 関係は図-3に示すように、履歴のない粘土と同一の直線関係を示している。そこで、履歴のない粘土では、 $\sigma \sim t_f$, $\sigma \sim \dot{\epsilon}_s$ 両関係にどのような影響を与えるかをみるために、一定のクリーケー応力を対し、図-1, 2の直線関係、すなはち (1)', (2)' で与えられる t_f , $\dot{\epsilon}_s$ を t_f^* , $\dot{\epsilon}_s^*$ と表わし、これと t_f , $\dot{\epsilon}_s$ の測定値との比 t_f/t_f^* , $\dot{\epsilon}_s/\dot{\epsilon}_s^*$ と E_R の関係を求めると、図-5のようになる。プロットにはかなりのバラツキがあるが、平均的に図中の直線のような関係がある。これらの直線は、それが式

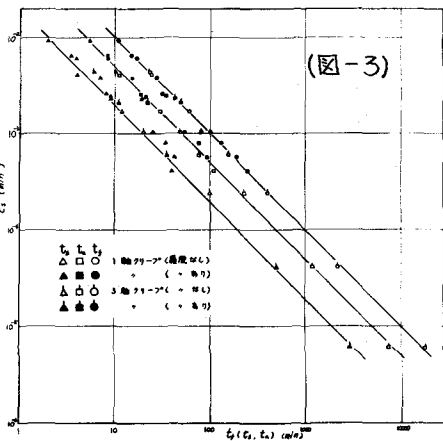
$$\log t_f/t_f^* = \alpha E_R \quad (4), \quad \log \dot{\epsilon}_s/\dot{\epsilon}_s^* = \alpha' E_R \quad (5)$$

のようだ表わされ、この場合、(4)～(5) $- \alpha = \alpha' (\approx 6.5)$ である。(ただし、(4), (5)とも)

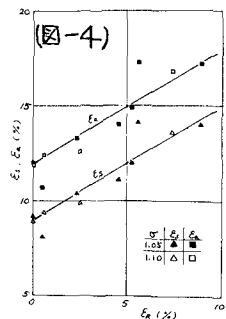
$\log t_f/t_f^* + \log \dot{\epsilon}_s/\dot{\epsilon}_s^* = 0 \therefore \dot{\epsilon}_s \cdot t_f = \dot{\epsilon}_s^* \cdot t_f^*$ となり、履歴のある場合、(1)', (2)' の関係を満足しないにもかかわらず、 $\dot{\epsilon}_s \sim t_f$ 関係は、履歴のない場合と同一の直線になることが説明される。なお、 $\sigma \sim t_f$ ($\sigma \sim t_a$) $\sim \dot{\epsilon}_s \sim E_R$ 関係についても同様のことといえる。

このようしたクリーケー試験では、ヒズミの大きさによって断面変化は明らかに一様ではなく、実際にはクリーケー中にクリーケー応力が一定に保たれるなど、(1)～(2)で測定される量も定性的なものは(か)なないことなど大きな問題点がある。はあ詳しい考察は講演時に述べる。

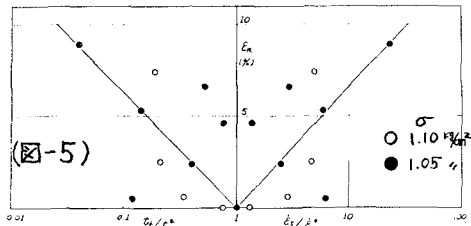
(参考文献) 1) 村山・栗原・内口 "粘土のクリーケー試験について" 土工支部年次学術講演会(昭和44.5), 2) 村山・栗原・内口 "粘土のクリーケー試験について" 京大防災研究所年報第13号B(昭和45.3)



(図-3)



(図-4)



(図-5)